

# Синтез гибридных ортогональных преобразований

Д. Р. Дарбинян

Институт проблем информатики и автоматизации НАН РА и ЕрГУ  
spl@ipia.sci.am

## Резюме

В задачах обработки изображений, при выполнении ортогонального преобразования над некоторым вектором входных данных используется алгоритм быстрого преобразования данной матрицы. В данной работе рассматриваются комбинированные ортогональные преобразования, получаемые в результате попарного перемножения матриц преобразований Фурье, Адамара, Хартли, Хаара и косинус-преобразования.

## 1 Введение

Смысл сжатия изображений состоит в минимизации числа информативных элементов, требуемых для представления изображений. При цифровой обработке изображений каждый отсчет (элемент) изображения квантуется на фиксированное количество уровней, после чего изображение запоминается или передается в цифровом виде. При этом потребность в сжатии диктуется необходимостью минимизации объема памяти и полосы частот системы передачи. Восстановление сжатого изображения, как правило, сопровождается некоторыми искажениями. Эффективность алгоритма сжатия оценивается достигнутым коэффициентом сжатия, полученными искажениями и сложностью реализации алгоритма. Один из методов сжатия состоит в преобразовании матрицы исходного изображения в новую матрицу (спектр изображения), в которой максимум информации помещается в минимальное количество отсчетов. Такой метод называется кодирование с преобразованием.

Для эффективного кодирования источника исходных сообщений следует сначала определить их структуру, а затем разработать алгоритм кодирования, эффективный для сообщений именно с данной структурой. Чем более определенной структурой обладает сообщение, тем больше эффективность, достигнутая при его согласовании с кодером.

Изображение обладает характерной структурой. Оно не является однородным: различные его участки имеют разные структуры. В частности, изображение состоит из ряда областей почти одинаковой яркости (цвета). Поэтому изображение можно разделить на участки с более-менее однородной структурой и в дальнейшем работать с этими участками. Так, при кодировании с преобразованием, изображение  $M \times M$  разбивают на фрагменты  $N \times N$  ( $N \ll M$ ), а затем производят преобразование над каждым из этих фрагментов.

Пусть  $A$  – квадратная матрица порядка  $N$ , а  $f^T$  – вектор-столбец входных данных  $(x_1, x_2, \dots, x_N)$ . Рассмотрим количество операций в произведении  $Af^T$  при разных способах представлений матрицы  $A$ . Пусть  $A$  – квадратная матрица порядка  $N$ . В этом случае количество операций в произведение  $Af^T$  будет:

$$S_1 = N^2 + N(N - 1) = 2N^2 - N \quad (1)$$

Пусть квадратная матрица  $A$  порядка  $N$  имеет вид

$$A = \begin{pmatrix} A(1) & A(1) \\ B(1) & -B(1) \end{pmatrix} \quad (2)$$

где  $A(1)$  и  $B(1)$  – матрицы порядка  $N/2$ .

Представим вектор  $f^T$  в виде  $f^T = (x, y)^T$ , где  $x = \begin{pmatrix} x_1 \\ \vdots \\ x_{N/2} \end{pmatrix}$ ,  $y = \begin{pmatrix} x_{N/2+1} \\ \vdots \\ x_N \end{pmatrix}$ .

Тогда произведение  $Af^T$  можно записать в следующем виде:

$$Ax^T = \begin{pmatrix} A(1)(x + y) \\ B(1)(x - y) \end{pmatrix}$$

При этом количество операций в матрицах  $A(x + y)$  и  $B(x - y)$  одинаково. Общее количество операций равно:

$$S_2 = 2(N^2/4 + N^2/4) = N^2 \quad (3)$$

Пусть матрицы  $A$  и  $C$  есть матрицы вида (2), т.е.

$$A = \begin{pmatrix} A(1) & A(1) \\ B(1) & -B(1) \end{pmatrix}, \quad C = \begin{pmatrix} C(1) & C(1) \\ D(1) & -D(1) \end{pmatrix} \quad (4)$$

Рассмотрим матрицу  $AC^T$ .

$$\begin{aligned} AC^T &= \begin{pmatrix} A(1)C^T(1) + A(1)C^T(1) & A(1)D^T(1) - A(1)D^T(1) \\ B(1)C^T(1) - B(1)C^T(1) & B(1)D^T(1) + B(1)D^T(1) \end{pmatrix} = \\ &= \begin{pmatrix} 2A(1)C^T(1) & 0 \\ 0 & 2B(1)D^T(1) \end{pmatrix} \end{aligned} \quad (5)$$

Умножив эту матрицу на вектор  $f^T = (x, y)^T$  получим:

$$Af^T = \begin{pmatrix} 2A(1)C^T(1)x \\ 2B(1)D^T(1)y \end{pmatrix}$$

При этом количество операций будет:

$$S = 2(N^2 - N)/2 = N^2 - N \quad (6)$$

Пусть квадратные матрицы  $A$  и  $C$  порядка  $N = 2^n$  можно представить в виде:

$$A(i) = \begin{pmatrix} A(i+1) & A(i+1) \\ B(i+1) & -B(i+1) \end{pmatrix}, \quad C(i) = \begin{pmatrix} C(i+1) & C(i+1) \\ D(i+1) & -D(i+1) \end{pmatrix} \quad (7)$$

где  $A(i), B(i), C(i), D(i)$  — матрицы порядка  $N/2^i$  а  $i = 0, 1, \dots, n$ .

Используя (5) получим:

$$A(i)C^T(i) = \begin{pmatrix} 2AC^T(i+1) & 0 \\ 0 & 2BD^T(i+1) \end{pmatrix}$$

где  $AC^T(i)$  и  $BD^T(i)$  — соответственно матрицы  $A(i)C^T(i)$  и  $B(i)D^T(i)$ . Таким образом, матрица  $AC^T$ , где  $A$  и  $C$  — матрицы порядка  $N = 2^n$  вида (7), можно представить эквивалентной матрицей блочно-диагонального вида:

$$AC^T = \begin{pmatrix} 2^n & 0 & 0 & 0 & 0 \\ 0 & 2^n & 0 & 0 & 0 \\ 0 & 0 & 2^{n-1}BD^T(n-1) & 0 & 0 \\ 0 & 0 & 0 & \ddots & 0 \\ 0 & 0 & 0 & 0 & 2BD^T(1) \end{pmatrix} \quad (8)$$

где  $BD^T(i)$  — матрица порядка  $N/2^i$ . Так как на диагонали стоят квадратные матрицы порядка  $N/2^i$ , ( $i = 0, n-1$ ), то исходя из (1), количество операций определяется по следующей формуле:

$$S = \frac{1}{3}(2N^2 - 3N - 2) \quad (9)$$

Сравнение с (1), (3), (6) показывает, что наименьшее количество операций получается именно в этом случае.

Замечание 1. Т.к. на диагонали мы имеем ортогональные блок-матрицы, то можно рассматривать их как отдельные матрицы ортогональных преобразований, без коэффициентов, полученных в результате перемножений исходных матриц. В этом случае, при выполнении обратного преобразования, каждая блок-матрица делится на свой коэффициент нормализации.

## 2 Блочные представления ортогональных матриц

Преобразование Фурье Пусть  $F(N)$  есть матрица преобразования Фурье порядка  $N = 2^n$ . Элементы этой матрицы определяются по следующей формуле [1]-[3]:

$$F_{k,m}(N) = \frac{1}{N} \exp(-j \frac{2\pi}{N} km), \quad k, m = \overline{0, N-1}. \quad (10)$$

Рассмотрим ( $m+N/2$ ) элемент  $k$ -ой строки ( $m = \overline{0, N/2-1}$ ).

$$\begin{aligned} F_{k,N/2+m}(N) &= \frac{1}{N} \exp\left(-j \frac{2\pi}{N} k(m + N/2)\right) = \\ &= \frac{1}{N} \exp(-jk\pi) \exp\left(-j \frac{2\pi}{N} km\right), \quad m = \overline{0, N/2-1} \end{aligned}$$

Из свойств экспоненциальной функции следует, что:

$$\begin{aligned} F_{2k,m} &= F_{2k,m+N/2}, \\ F_{2k+1,m} &= -F_{2k+1,m+N/2} \quad k, m = \overline{0, N/2-1} \end{aligned}$$

Следовательно, матрица преобразования Фурье эквивалентна матрице вида:

$$F(N) = \frac{1}{N} \begin{pmatrix} F(N/2) & F(N/2) \\ G(N/2) & -G(N/2) \end{pmatrix} \quad (11)$$

где

$$\begin{aligned} F(N/2) &= F_{2k,m} = \exp\left(-j\frac{2\pi}{N/2}km\right), \\ G(N/2) &= F_{2k+1,m} = \exp\left(-j\frac{2\pi}{N}(2k+1)m\right), \quad k, m = \overline{0, (N/2) - 1} \end{aligned} \quad (12)$$

Из формул (10) и (12) следует, что  $F(N/2)$  есть матрица Фурье порядка  $N/2$ . Следовательно, матрицу  $F(N/2)$  так же можно представить в виде (11). Матрицу Фурье порядка  $N/2^i$  обозначим через  $F(i)$ . Таким образом, матрицу преобразования Фурье порядка  $N = 2^n$  можно представить в виде:

$$F(i) = \frac{1}{N} \begin{pmatrix} F(i+1) & F(i+1) \\ G(i+1) & -G(i+1) \end{pmatrix} \quad (13)$$

где

$$\begin{aligned} F(i) &= \exp\left(-j\frac{2\pi}{N}2^i km\right) \\ G(i) &= \exp\left(-j\frac{2\pi}{N}2^{i-1}(2k+1)m\right), \quad k, m = \overline{0, (N/2^i) - 1} \end{aligned}$$

**Преобразование Адамара** Известно, что матрица Адамара порядка  $N = 2^n$  вычисляется по следующему рекуррентному соотношению [1], [2], [7], [9]:

$$H(i) = \begin{pmatrix} H(i+1) & H(i+1) \\ H(i+1) & -H(i+1) \end{pmatrix} \quad (14)$$

где  $H(0) = 1$ . А это означает, что матрицу Адамара так же можно представить в виде (7).

**Преобразование Хартли** Элементы матрицы преобразования Хартли вычисляются по следующей формуле [3], [5]:

$$X_{k,m} = \frac{1}{\sqrt{N}} \left( \cos \frac{2\pi}{N} km + \sin \frac{2\pi}{N} km \right), \quad k, m = \overline{0, N-1}. \quad (15)$$

Рассмотрим  $m + N/2$  элемент  $k$ -ой строки.

$$\begin{aligned} X_{k,m+N/2} &= \frac{1}{\sqrt{N}} \left( \cos \frac{2\pi k}{N} (m + N/2) + \sin \frac{2\pi k}{N} (m + N/2) \right) = \\ &= \frac{1}{\sqrt{N}} \left( \cos \pi k \sin \frac{2\pi}{N} km + \cos \pi k \sin \frac{2\pi}{N} km \right) \end{aligned}$$

Из свойств синусоидальной функции следует, что

$$X_{2k,m} = X_{2k,m+N/2},$$

$$X_{2k+1,m} = X_{2k+1,m+N/2}, \quad k, m = 0, 1, \dots, N/2 - 1$$

Отсюда вытекает, что матрица Хартли эквивалентна матрице вида:

$$X = \begin{pmatrix} X(1) & X(1) \\ L(1) & -L(1) \end{pmatrix} \quad (16)$$

также

$$\begin{aligned} X(1) &= \frac{1}{\sqrt{N}} \left( \cos \frac{2\pi}{N/2} km + \sin \frac{2\pi}{N/2} km \right) \\ L(1) &= \frac{1}{\sqrt{N}} \left( \cos \frac{2\pi}{N} (2k+1)m + \sin \frac{2\pi}{N} (2k+1)m \right), \\ k, m &= 0, 1, \dots, \frac{N}{2} - 1. \end{aligned} \quad (17)$$

Сравнение (15) и (17) показывает, что  $X(1)$  есть матрица Хартли порядка  $N/2$ . Следовательно ее так же можно представить в виде (16). Таким образом, матрицу преобразования Хартли можно представить в виде:

$$X(i) = \begin{pmatrix} X(i+1) & X(i+1) \\ L(i+1) & -L(i+1) \end{pmatrix}, \quad (18)$$

где

$$\begin{aligned} X(i) &= \frac{1}{\sqrt{N}} \left( \cos \frac{2\pi}{N} 2^i km + \sin \frac{2\pi}{N} 2^i km \right) \\ L(i) &= \frac{1}{\sqrt{N}} \left( \cos \frac{2\pi}{N} 2^{i+1} (2k+1)m + \sin \frac{2\pi}{N} 2^{i+1} (2k+1)m \right) \\ k, m &= 0, 1, \dots, \frac{N}{2^i} - 1 \end{aligned}$$

**преобразование Хаара** Матрица Хаара определяется рекуррентным соотношением вида [1]-[3], [8]:

$$\begin{aligned} \chi_2 &= \begin{pmatrix} 1 & 1 \\ 1 & -1 \end{pmatrix}, \\ \chi_{2^n} &= \begin{pmatrix} \chi_{2^{n-1}} & \otimes & |1, 1| \\ \sqrt{2^{n-1}} I_{2^{n-1}} & \otimes & |1, -1| \end{pmatrix} \end{aligned} \quad (19)$$

где  $\otimes$ -знак Кронеровского произведения. Т.е. формулу (19) можно записать следующим образом:

$$\begin{aligned} \chi_2 &= \begin{pmatrix} 1 & 1 \\ 1 & -1 \end{pmatrix} \\ \chi_2^n &= \begin{pmatrix} \chi_2^{n-1} & \chi_2^{n-1} \\ \sqrt{2} I_{2^{n-1}} & -\sqrt{2} I_{2^{n-1}} \end{pmatrix} \end{aligned}$$

Следовательно, матрицу Хаара можно представить эквивалентной матрицей вида:

$$\chi_i = \begin{pmatrix} X_{i+1} & X_{i+1} \\ M_{i+1} & M_{i+1} \end{pmatrix} \quad (20)$$

где  $M_i = \sqrt{2^{n-1}} I_{2^{n-1}}$

**Косинус-преобразование** Элементы матрицы косинусного преобразования определяются по формуле [1]-[6], [11]:

$$C_{k,m} = \sqrt{\frac{2}{N}} b_k \cos \frac{k(2m+1)\pi}{2N}, \quad b_k = \begin{cases} 1, & \text{if } k \neq 0, k \neq N \\ \frac{1}{\sqrt{2}}, & \text{if } k = 0, k = N \end{cases} \quad (21)$$

Для простоты вычислений далее не будем рассматривать коэффициент  $b_k$  и  $\sqrt{\frac{2}{N}}$ . Рассмотрим  $(N-m-1)$ -ый элемент  $k$ -ой строки.

$$\begin{aligned} C_{k,m} = \cos \left( \frac{k(2(N-m-1)+1)}{2N} \pi \right) &= \cos \left( k\pi - \frac{k(2m+1)}{2N} \pi \right) = \\ &= \cos k\pi \cos \frac{k(2m+1)}{2N} \pi. \end{aligned}$$

Из свойства косинусной функции следует, что

$$\begin{aligned} C_{2k,m} &= C_{2k,N-m-1}, \\ C_{2k+1,m} &= -C_{2k+1,N-m-1}, \quad k, m = 0, 1, \dots, \frac{N}{2} - 1. \end{aligned}$$

Таким образом, матрицу  $C$  можно представить эквивалентной матрицей вида:

$$C(N) = \begin{pmatrix} C(N/2) & CR(N/2) \\ D(N/2) & -DR(N/2) \end{pmatrix}, \quad (22)$$

где

$$R(i) = (r_{k,m})_{k,m=0}^{N/2^i-1}, r_{k,m} = \begin{cases} 1 & \text{при } k+m=N/2-1 \\ 0 & \text{в противном случае} \end{cases}$$

а элементы матрицы  $C(N/2)$  и  $D(N/2)$  имеют следующий вид:

$$\begin{aligned} C(k, m) &= \cos \frac{k(2m+1)\pi}{N}, \\ D(k, m) &= \cos \frac{(2k+1)(2m+1)\pi}{2N}, \quad k, m = 0, 1, \dots, N/2 - 1. \end{aligned} \quad (23)$$

Сравнение формул (21) и (23) показывает, что  $C(N/2)$  является матрицей косинусного преобразования порядка  $N/2$ . Следовательно, матрицу  $C(N/2)$  так же можно привести к виду (22). Таким образом, матрица  $C$  косинусного преобразования порядка  $N$  эквивалентна матрице вида:

$$C(i) = \begin{pmatrix} C(i) & C(i)R(i) \\ D(i) & -D(i)R(i) \end{pmatrix}, \quad i = 1, 2, \dots, \log_2 N \quad (24)$$

где элементы матриц  $C(i)$  и  $D(i)$  определяются следующим образом:

$$C(i) = \cos \frac{2^i k(2m+1)\pi}{2N} \quad k, m = 0, 1, \dots, N/2^i - 1$$

$$D(i) = \cos \frac{2^{i-1}(2k+1)(2m+1)\pi}{2N} \quad k, m = 0, 1, \dots, N/2^i - 1$$

$$R(i) = (r_{k,m})_{k,m=0}^{N/2^i-1}, r_{k,m} = \begin{cases} 1, & \text{при } k+m=N/2-1 \\ 0, & \text{в противном случае} \end{cases}$$

## Синтез блочно-диагональных ортогональных матриц и алгоритмы быстрых преобразований

**Преобразование Фурье-Адамара** Так как матрицы преобразований Фурье и Адамара можно представить эквивалентными матрицами вида (7) (матрицы (13) и (14) соответственно), то комбинированную матрицу Фурье-Адамара можно представить в виде блочно диагональной матрицы :

$$F_H(N) = \text{diag}(1, 1, P(2), P(4), \dots, P(N/2))$$

где  $P(M)$  есть блок-матрица  $FH^T(i)$  порядка  $M = \frac{N}{2^i}$ . При этом, количество операций в преобразовании  $F_H(N)f$  определяется по формуле  $\frac{N^2}{9} + 3N - \frac{16}{3}n - \frac{10}{9}$ . Отметим, что для простоты вычислений здесь и далее не рассматриваются коэффициенты нормализации каждой из блок-матриц. При необходимости, после выполнения обратного преобразования каждая из матриц умножается на соответствующий коэффициент.

Граф быстрого преобразования Фурье-Адамара для  $N = 16$  представлен на рис. 1.а.

**Преобразование Фурье-Хаара** Рассмотрим матрицу  $F_X^T$  комбинированного преобразования Фурье-Хаара. Из формул (7), (13), (20) следует, что матрицу  $F_X^T$  можно представить эквивалентной матрицей вида

$$F_X(N) = \text{diag}(1, 1, P(2), P(4), \dots, P(N/2))$$

где  $P(M)$  есть блок-матрица  $F_X^T(i)$  порядка  $M = \frac{N}{2^i}$ . Количество операций в этом случае получается:  $\frac{N^2}{9} + 2N - \frac{16}{3} \log \frac{N}{2} + \frac{26}{9}$ . Граф быстрого преобразования Фурье-Хаара для  $N = 16$  представлен на рис. (1.б).

**Замечание.** Для каждого из рассмотренных выше случаев (Фурье-Адамара, Фурье-Хартли и Фурье-Хаара) последняя итерация на соответствующем графе не считается за исполнимую операцию, т.к. при передаче спектра передается действительное число. На этом шаге оказывается как образуется  $i$ -ый комплексный элемент спектра. При передаче передаются элементы предпоследней итерации.

**Преобразование Фурье-Хартли** Из формул (7) и (13) и (18) следует, что комбинированное преобразование Фурье-Хартли можно представить эквивалентной матрицей вида:

$$F_X(N) = \text{diag}(1, 1, P(2), P(4), \dots, P(N/2))$$

Количество операций в преобразовании  $F_X(N)f$  получается равным  $N - 2$ . При сравнении с другими рассматриваемыми здесь преобразованиями, в этом случае получаем наименьшее количество операций. Граф быстрого преобразования для этого случая представлен на рис.2

**Преобразование Хартли-Адамара** Из формул (7), (14), (18) получим, что матрицу комбинированного преобразования Хартли-Адамара  $XH^T$  можно представить эквивалентной матрицей вида:

$$X_H(N) = \text{diag}(1, 1, P(2), P(4), \dots, P(N/2))$$

где  $P(M)$  есть блок-матрица  $XH^T(i)$  порядка  $M = \frac{N}{2}$ . При этом количество операций определяется по формуле  $\frac{N^2}{9} + 4N - \frac{28}{3}n + \frac{8}{9}$ .

Граф быстрого преобразования Хартли-Адамара представлен на рис.3.а.

**Преобразование Хартли-Хаара** Из формул (7), (18), (20) следует, что матрицу комбинированного преобразования Хартли-Хаара можно представить эквивалентной матрицей вида:

$$X_X(N) = \text{diag}(1, 1, P(2), P(4), \dots, P(N/2))$$

где каждый блок  $X_X^T(i)$  представляет из себя матрицу порядка  $N/2^i$ . Количество операций в преобразовании  $X_X f$  получается равным

$\frac{N^2}{9} + 2N - \frac{16}{3} \log_2 \frac{N}{2} - \frac{44}{9}$ . Граф быстрого преобразования для  $N = 16$  представлен на рис.(3.b).

**Преобразование Адамара-Хаара** Из формул (7), (14), (20) следует, что матрицу комбинированного преобразования Адамара-Хаара можно представить следующей эквивалентной матрицей блочно-диагонального вида:

$$H_X(N) = \text{diag}(1, 1, P(2), P(4), \dots, P(N/2))$$

где каждый блок  $P(i)$  представляет из себя матрицу  $H_X^T(i)$  порядка  $N/2^i$ . Заметим, что блок  $H_X^T(i)$  представляет из себя матрицу Адамара порядка  $N/2^i$ . Количество операций  $S$  при этом вычисляется по формуле:  $S = N \log_2 \frac{N}{4} + 2$ .

**Преобразование Косинус-Адамара** Из формул (7), (24), (14) вытекает, что комбинированное преобразование Косинус-Адамара можно представить матрицей вида:

$$C_H(N) = \text{diag}(1, 1, P(2), P(4), \dots, P(N/2))$$

где матрица  $P(i)$  представляет из себя матрицу  $C_H^T(i)$  порядка  $N/2^i$ . При этом, количество операций в преобразовании получается:

$S = 7N(\frac{1}{2} \log_2 N - 1) + 8$ . В качестве примера на рис.4 представлен график данного преобразования для случая  $N = 16$  [11]:

**Замечание.** Из всего сказанного выше следует:

1. Имея две ортогональные матрицы порядка  $N = 2^n$  вида (7) можно получить эквивалентную матрицу блочно-диагонального вида (8), где на главной диагонали стоят ортогональные квадратные матрицы порядка  $2^i$ , ( $i = 1, 2, \dots, n-1$ ). При этом, т.к. эти матрицы ортогональны, то каждый блок можно рассматривать как отдельное ортогональное преобразование и при расчетах коэффициенты при каждом блоке не учитывать.

В этом случае, при выполнении обратного преобразования, полученный результат каждого блока умножается на норму данного блока. В случае комбинированного преобразования Хаара с каким-либо преобразованием  $A_{k,m}(i)$  (см. 7), лежащие на диагонали блоки представляют из себя матрицы  $A_{2k+1,n}(i)$ ,  $i = 2, n - 1$ ,  $k, m = 0, N/2^i - 1$ .

2. Количество операций в комбинированной блочно-диагональной матрице  $AB^T$  меньше чем в каждой из матриц  $A$  и  $B$  по отдельности (за исключением соз-преобразований).

В таблице 1 показано количество операций для рассмотренных выше преобразований.

3. Если известен граф быстрого преобразования блочно-диагональной матрицы  $AC^T$  вида (8) порядка  $N_1 = 2^n$ , где  $A$  и  $C$  – матрицы вида (7) порядка  $N_1$ , то для получения графа быстрого преобразования матрицы  $(AC^T)'$  порядка  $N = 2^{n+1}$  достаточно рассчитать граф блока  $(BD^T(1))'$  матрицы  $(AC^T)'$ .

Табл.1.

Преобразование	Количество операций	$N = 8$	$N = 16$	$N = 32$
Фурье $F$	$2N \log_2 N - 4N + 6$	22	70	198
Хартли $X$	$\frac{N^2}{9} + \frac{36}{9}N - \frac{48}{9} \log_2 N + 8$	24	72	216
Адамара $H$	$N \log_2 N$	24	64	160
Хаара $X$	$2(N - 1)$	14	30	62
Косинус-преобразование $C$	$\frac{5}{2}N \log_2 N - 3N + 6$	42	112	310
Фурье-Адамара $FH$	$\frac{N^2}{9} + 3N - \frac{16}{3} \log_2 N - \frac{10}{9}$	14	54	182
Фурье-Хаара $FX$	$\frac{N^2}{9} + 2N - \frac{16}{3} \log_2 N + \frac{26}{9}$	10	42	154
Фурье-Хартли $FX$	$N - 2$	5	14	30
Хартли-Адамара $XH$	$\frac{N^2}{9} + 4N - \frac{28}{3} \log_2 N + \frac{8}{9}$	12	52	148
Хартли-Хаара $XX$	$\frac{N^2}{9} + 2N - \frac{16}{3} \log_2 N + \frac{44}{9}$	12	44	154
Адамар-Хаара $HX$	$N \log_2 N \frac{N}{4} + 2$	10	34	98
Косинус-Адамара $CH$	$\frac{7}{2}N \log_2 N - 7N + 8$	36	120	334

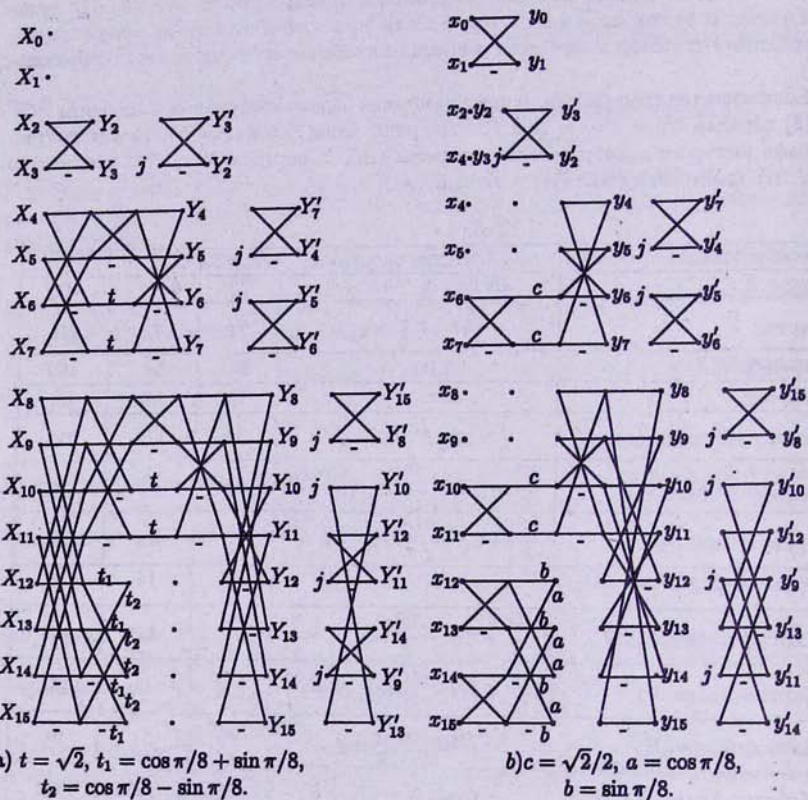


Рис.1 Графы быстрых преобразований а) Фурье-Адамара и б) Фурье-Хаара.

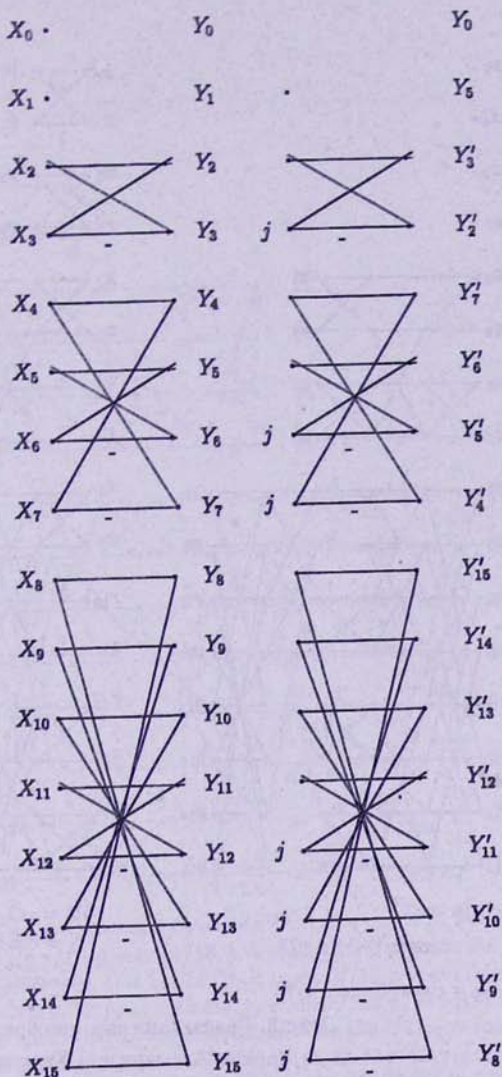


Рис.2 Граф быстрого преобразования Фурье-Хартли.

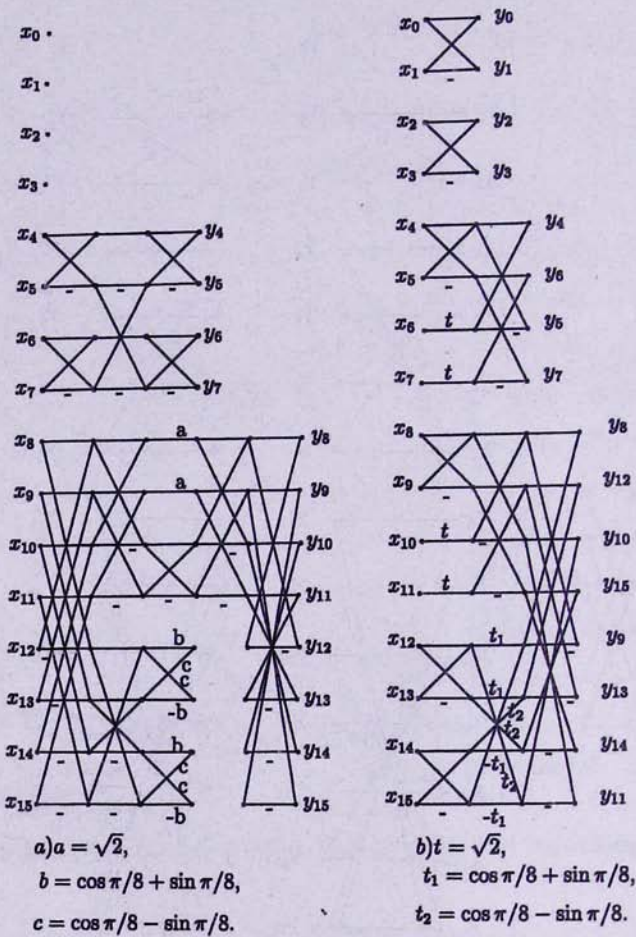
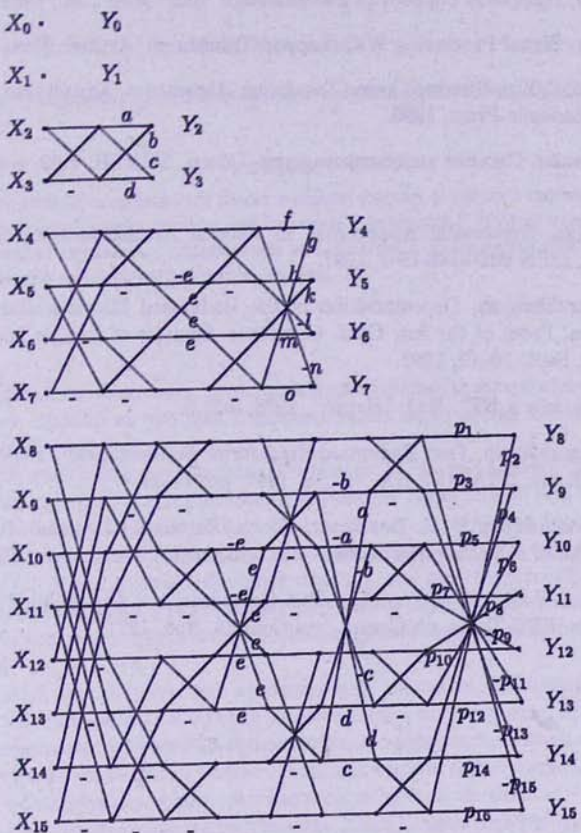


Рис.3. Графы быстрых преобразований:

а) Хартли-Адамара и б) Хартли-Хаара.



$a = \sin \pi/8, b = \cos \pi/8, c = \sin 3\pi/8, d = \cos 3\pi/8, e = \cos \pi/4,$   
 $f = \sin \pi/16, g = \cos \pi/16, h = \sin 5\pi/16, k = \cos 5\pi/16,$   
 $l = \sin 3\pi/16, m = \cos 3\pi/16, n = \sin 7\pi/16, o = \cos 7\pi/16$   
 $p_1 = \sin \pi/32, p_2 = \cos \pi/32, p_3 = \sin 9\pi/32, p_4 = \cos 9\pi/32,$   
 $p_5 = \sin 5\pi/32, p_6 = \cos 5\pi/32, p_7 = \sin 13\pi/32, p_8 = \cos 13\pi/32,$   
 $p_9 = \sin 3\pi/32, p_{10} = \cos 3\pi/32, p_{11} = \sin 11\pi/32, p_{12} = \cos 11\pi/32,$   
 $p_{13} = \sin 7\pi/32, p_{14} = \cos 7\pi/32, p_{15} = \sin 15\pi/32, p_1 = \cos 15\pi/32,$

Рис.4. Граф быстрого преобразования косинус-адамара.

## Литература

- [1] N. Ahmed, K. R. Rao, Orthogonal Transforms for Digital Signal Processing. Springer-Verlag, Berlin, New York, 1975.
- [2] У. Прэtt, Цифровая обработка изображений. Изд "Мир", М., 1982, том 1-2.
- [3] S. Malvar, Signal Processing With Lapped Transforms. Artech House, Boston, 1991
- [4] K. R. Rao, P. Yip, Discrete Cosine Tranforms: Algorithms, Advantages, Application. San Diego, Academic Press, 1990.
- [5] А. К. Джайн, Сжатие видеинформации. Обзор. ТИИЭР, т.69, № 3, 1981,стр 71-117.
- [6] D. Akopian, Systematic Approaches to Parallel Architecture for DSP Algorithms. Tampere, ISBN 952-5148-29-7, 1997.
- [7] H. G. Sarukhanyan, Decomposition of the Hadamard Matrices and Fast Hadamard Transform. Proc. of the Int. Conf. Computer Analysis of Images and Patterns. Kiel, Germany, Sept. 10-12, 1997.
- [8] "Кибернетика и ВТ". Изд. "Наука", 1986, вып.2.
- [9] H. G. Sarukhanyan, Fast Hadamard Transform. Mathematical Problems of Computer Science. Trans. IPIA NAS RA, vol. 18, 1997, pp. 14-18.
- [10] H. G. Sarukhanyan, D. R. Darbinyan, Block-Diagonal Orthogonal Ttransforms. Proc. of Int. Conf.of the Computer Science and Information Technologies,1997, pp. 147-149
- [11] W. Chen, S. Smith, S. C. Fralick, A Fast Computational Algorithm for Discrete Cosine Transform.IEEE Trans. on Comm., vol.Com-25, No9, 1977.